

# **Моделирование электродинамических параметров многомодового двухзазорного резонатора для миниатюрных многолучевых приборов клистронного типа**

**А.Ю. Мирошниченко, В.А. Царев, В.А. Губанов, Н.А. Акафьева**

## **Введение**

Одной из актуальных задач СВЧ электроники является создание миниатюрных низковольтных многолучевых электровакуумных усилителей и генераторов коротковолновой части микроволнового диапазона на матричных автокатодах, использующих принцип клистронного взаимодействия [1]. Преимущества автоэлектронных катодов по сравнению с другими видами источников свободных электронов хорошо известны: высокая монохроматичность энергии электронов пучка, устойчивость к колебаниям температуры, малая чувствительность к радиации, безинерционность, высокая крутизна вольтамперных характеристик. В таких приборах целесообразно использовать миниатюрные электродинамические системы на печатных платах [2], которые изготавливались бы в едином технологическом цикле с катодами этих вакуумных интегральных схем.

Для миниатюрных вакуумных приборов клистронного типа такими системами являются двухзазорные полосковые резонаторы, выполненные на основе высокодобротной линии с подвешенной керамической подложкой [3, 4]. Малые габаритные размеры двухзазорного резонатора, выполненного на основе двухсторонней печатной платы, достигаются за счет сворачивания двойного внутреннего проводника линии в спираль. Обычно взаимодействие электронов с ВЧ полем двойного зазора в таком резонаторе осуществляется на низшем, противофазном виде колебаний, резонансная частота которого  $f_1$  в основном зависит от длины внутреннего проводника, емкости зазора и диэлектрической проницаемости подложки.

При выбранных значениях диэлектрической проницаемости и емкости зазора, частота  $f_2$  первого высшего синфазного вида колебаний  $E_{010}$  отличается по частоте от основного вида в 1,5-1,8 раза и в основном она зависит от диаметра резонатора. Обычно синфазный вид колебаний в двухзазорных резонаторах является паразитным видом и при конструировании прибора его стараются подавить разными способами, а также исключить возможность настройки резонатора на кратные частоты. Однако режим с кратными частотами основного и первого высшего видов колебаний  $K = f_2 / f_1$ ,  $K=2$  может быть полезно использован для повышения электронного КПД СВЧ приборов клистронного типа [5, 6]. Отметим, что более высокие по частоте объемные моды, а также высшие «полосковые» моды не представляют интереса для исследования, поскольку на них трудно обеспечить хорошее взаимодействие с многолучевым электронным потоком.

Однако разработка подобных резонансных систем для двухмодового режима работы СВЧ приборов наталкивается на большие трудности, связанные со сложным спектром собственных частот и с неоднородным характером распределения ВЧ электрического поля.

Так как такие режимы для двухзазорного многоканального резонатора, выполненного на основе высокодобротной линии с подвешенной керамической подложкой, практически не исследованы, то проведение теоретических и экспериментальных исследований электродинамических характеристик резонаторов в многомодовом режиме, соответствующем одновременному возбуждению противофазных и синфазных ВЧ напряжений в двойном зазоре, представляет большой научный и практический интерес.

В статье приведены результаты 3-Д численного моделирования с помощью программы Ansoft HFSS [7], а также результаты экспериментального исследования электродинамических свойств полуволнового двухзазорного резонатора с подвешенной керамической подложкой. Определены оптимальные параметры этой конструкции,

позволяющие осуществить одновременное возбуждение на кратных частотах с кратностью ( $K=2$ ).

## 1 Конструкция резонатора

На рис. 1. представлена конструкция исследуемого резонатора, характерные размеры которого приведены в табл. 1.

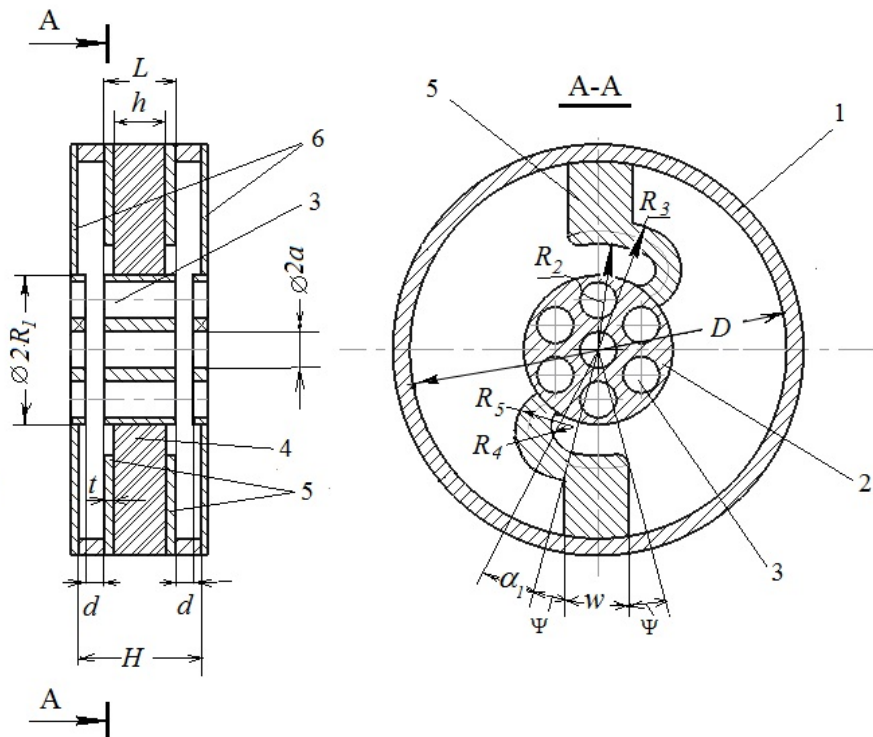


Рис. 1 - Конструкция исследуемого резонатора

Двухзазорный резонатор состоит из корпуса 1, центральной втулки 2 с пролетными каналами для прохождения электронного потока 3, которая закреплена на диэлектрической подложке 4. Центральная втулка 2 электрически соединена с корпусом резонатора 1 посредством спиральных полосковых проводников 5, расположенных на диэлектрической подложке 4 с обеих сторон и образующих полуволновую симметричную полосковую резонансную линию.

Таблица 1

Основные параметры двухзазорного резонатора

H, мм	D, мм	R1, мм	l, мм	a, мм	d, мм	h, мм
50	60	7	12	1,3	2,6	1,96
t, мм	R2, мм	R3, мм	R4, мм	R5, мм	W, мм	

0,02	15,9	20,9	4,55	9,55	10	
------	------	------	------	------	----	--

## 2 Расчет полуволновой конструкции многолучевого многочастотного резонатора

В последнее время для анализа трехмерных СВЧ структур все чаще используются программы электродинамического моделирования [8-10], среди них одно из лидирующих мест занимает программа High Frequency System Simulator (HFSS) компании AnSoft.

В результате проведенного трехмерного моделирования были исследованы электродинамические свойства резонатора на основном и первом высшем видах колебаний. Картинны полей противофазного (TEM) и синфазного ( $E_{010}$ ) видов колебаний в зазорах исследуемого резонатора изображены на рис. 2.

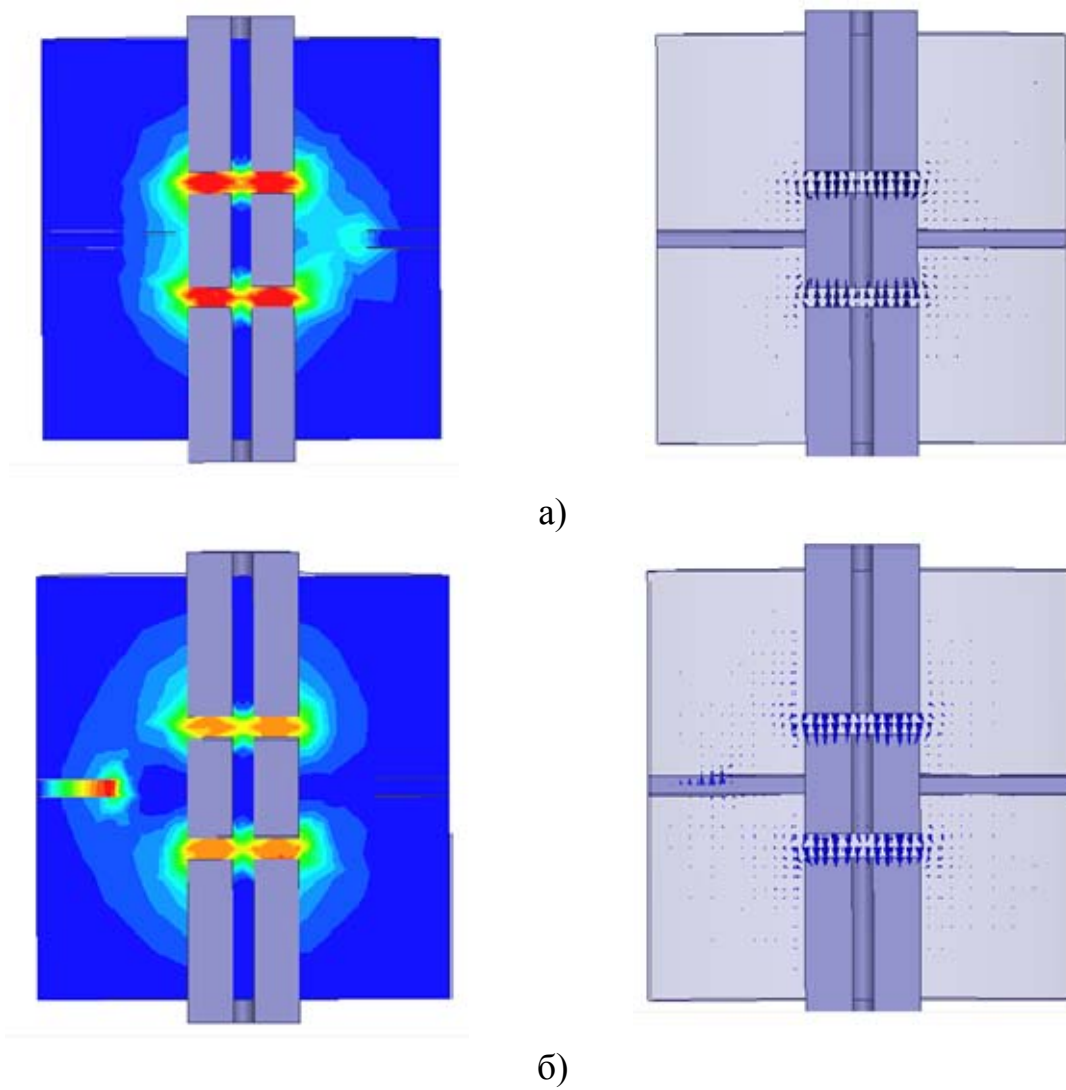


Рис. 2 – Картинны полей: а – противофазный (TEM) вид колебаний; б – синфазный ( $E_{010}$ ) вид колебаний

В процессе моделирования производился расчет полу волновой конструкции резонатора при фиксированном значении диаметра резонатора  $D=60$  (мм), с варьируемыми значениями отношения длины зазора к радиусу пролетного канала  $d/a$  и угла полоскового элемента  $\alpha$ , при заданной величине относительной диэлектрической проницаемости подложки  $\epsilon=2,5$ .

На рис. 3 представлен график зависимостей противофазного  $f_1$  и синфазного  $f_2/2$  видов колебаний, при разных значениях отношения длины зазора к радиусу пролетного канала  $d/a$ , от угла поворота спирального полоскового элемента  $\alpha$ . График наглядно показывает, что изменением длины полоскового элемента (т.е. изменением угла  $\alpha$ ) можно изменять частоту противофазного вида колебаний практически независимо от синфазного, добиваясь тем самым желаемой настройки частот резонатора. Это условие позволяет создавать резонаторы, работающие в двухмодовом режиме. На графике кратность выражена пересечением противофазного и синфазного видов колебаний.

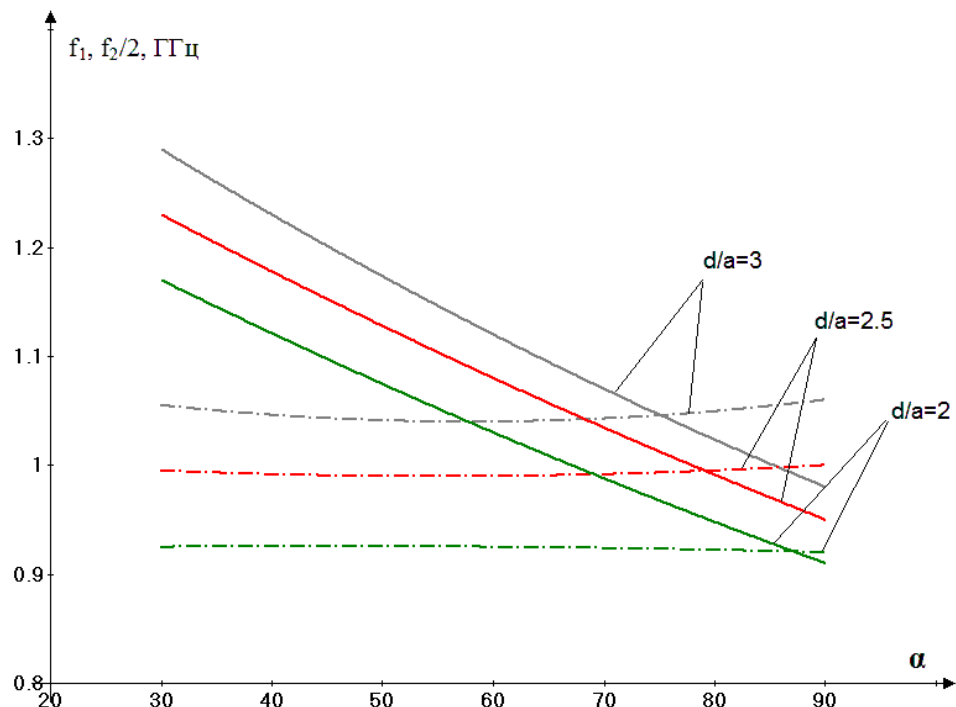


Рис. 3 - Зависимости частот противофазного  $f_1$  (сплошная линия) и синфазного  $f_2/2$  (пунктирная линия) видов колебаний, при разных значениях

отношения длины зазора к радиусу пролетного канала  $d/a$ , от угла поворота спирального проводника

На рис. 4 показан график зависимости отношения частот противофазного  $f_1$  и синфазного  $f_2$  видов колебаний от угла поворота спирального проводника  $\alpha$ . Пунктирными линиями показаны точки с кратностью частот 2.

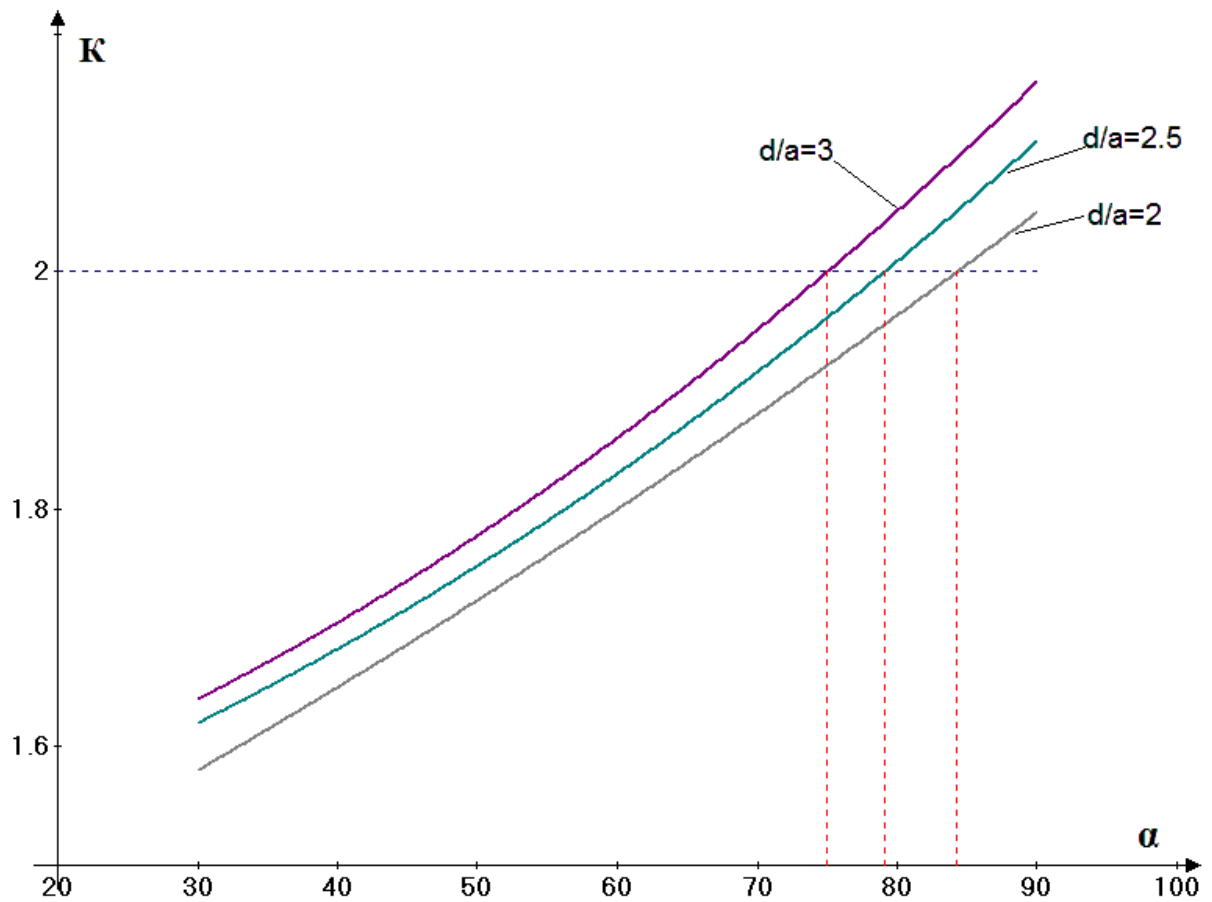


Рис. 4 - Расчетные зависимости отношения частот синфазного и противофазного типов колебаний от угла поворота спирального проводника

### 3 Экспериментальные исследования

Объектом экспериментального исследования является разборный макет полуволновой конструкции резонатора (см. рис. 5), состоящий из цилиндрического корпуса, внутри которого на диэлектрической стенке закрепляется втулка.

В ходе эксперимента варьировались длины зазоров, и угол спирали, определяющий длину резонансного элемента.



Рис. 5 - Разборный макет резонатора

Для измерения резонансных частот использовался измеритель КСВН и ослабления типа Р2-52, 54. Результаты эксперимента представлены на рис. 6.

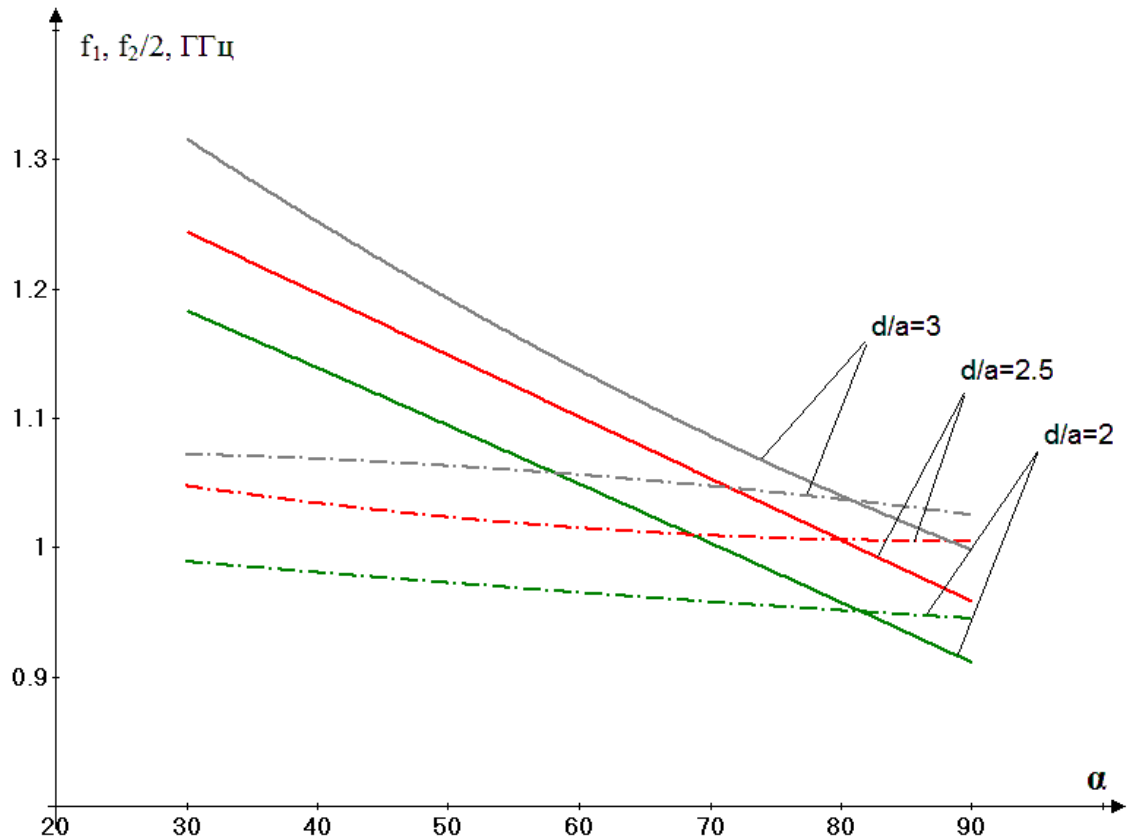


Рис. 6 - Экспериментальные зависимости частоты противофазного  $f_1$  (сплошная линия) и синфазного  $f_2/2$  (пунктирная линия) видов колебаний, при разных значениях отношения длины зазора к радиусу пролетного канала  $d/a$ , от угла поворота спирального проводника  $\alpha$

Сравним данные полученные экспериментальным путем с данными рассчитанными в программе 3-D компьютерного моделирования Ansoft HFSS (см. рис. 7 и 8).

На рис. 7 показаны теоретические и экспериментальные зависимости кратности частот противофазного  $f_1$  и синфазного  $f_2$  видов колебаний при различных отношениях длины зазора к радиусу пролетного канала  $d/a$  от угла поворота спирального проводника. Из графика видно, что в диапазоне отношений  $d/a=2-3$  возможно настроить исследуемый резонатор на кратность частот между видами колебаний равную 2, выбирая угол раскрыва спирали в диапазоне от 75 до 80 градусов.

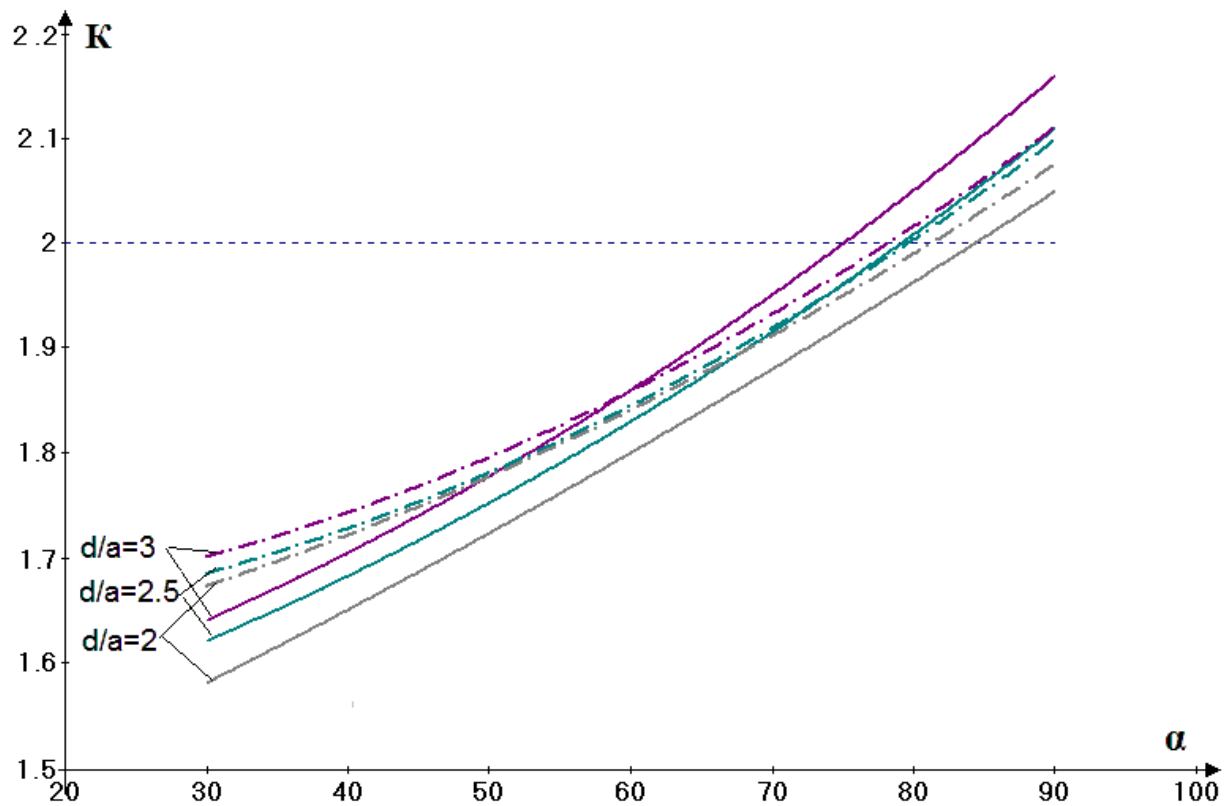


Рис. 7 - Теоретические (сплошная линия) и экспериментальные (пунктирная линия) зависимости отношения частот синфазного и противофазного видов колебаний исследуемого резонатора при различных относительных длинах зазора  $d/a$  от угла поворота спирального проводника

Рассмотрим более детально участок, на котором выполняется кратность частот, равная 2. Из рис. 8 видно, что наименьший разброс значений между теоретическим расчетом и экспериментом (около 1 градуса) наблюдается при длине зазора 2,5.

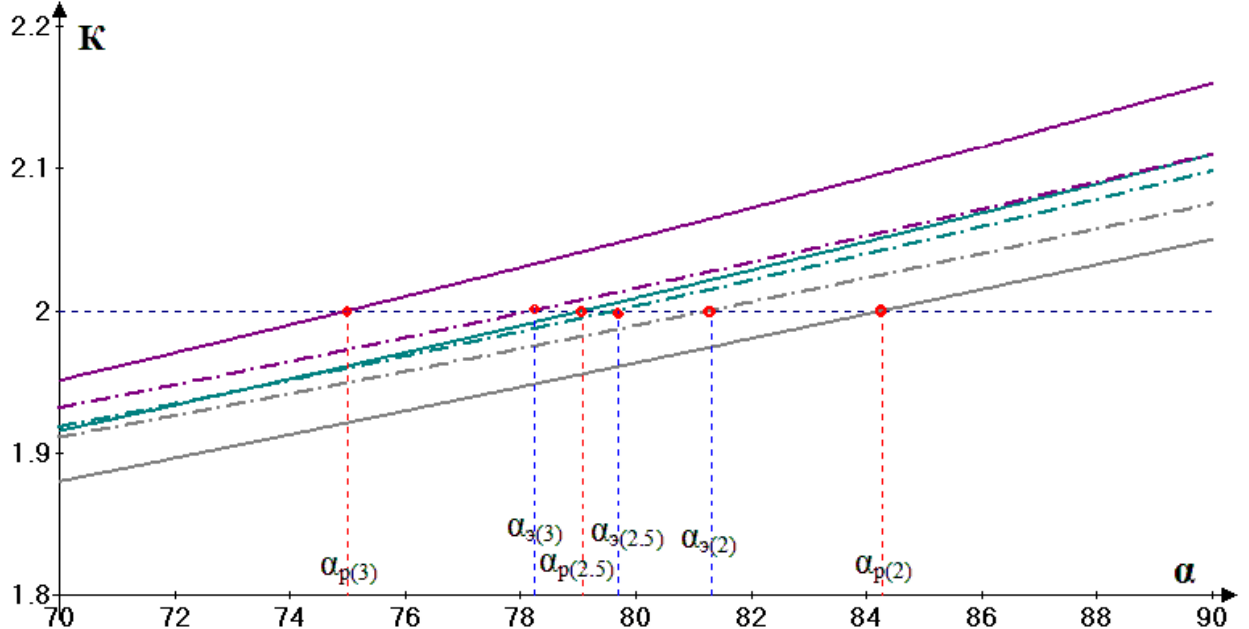


Рис. 8 - Теоретические (сплошная линия) и экспериментальные (пунктирная линия) зависимости отношения частот для синфазного синфазного и противофазного типов колебаний в области получения кратности равной 2

## Заключение

Таким образом, на основе проведенных теоретических и экспериментальных исследований установлено, что в двухзазорных полуволновых резонаторах, выполненных на основе полосковой линии с керамической можно добиться двухмодового режима возбуждения с  $K=2$ . Для подобного резонатора не требуются высокие значения собственной добротности, так как потери в диэлектрике и проводниках могут быть скомпенсированы за счет выбора соответствующей величины отрицательной электронной проводимости, вносимой модулированным по плотности электронным потоком в резонатор. Режим с кратностью частот  $K=2$  может быть использован для повышения КПД генераторных и усилительных микроприборов с накальными и матричными автоэмиссионными катодами.

Исследование выполнено при поддержке Министерства образования и науки Российской Федерации, соглашение № 14.B37.21.0909 «Исследование физических процессов в мощных многолучевых СВЧ электровакуумных приборах с электродинамическими системами, выполненными на основе многомодовых резонаторов».

### **Литература:**

1. Analysis of the possibility of performing microminiature low-voltage electronic devices for vacuum millimeter-wavelength integral circuits / Yu.V. Gulyaev, I.S. Nefyodov, A.V. Nechaev et al. // Proceeding from the International Conference on Millimeter and Submillimeter Waves and Applications. - San-Diego, Calif., USA. – 1994. - P. 159-165.
2. Tyumev, V.V. Resonant properties of double-wire suspended stripline resonator / V.V. Tyumev, I.A. Dovbysh // Microwave & Telecommunication Technology: Proceeding of 15the International Crimean Conference. Sevastopol, Ukraine. - 2005. – Vol. 2. – P. 487-489.
3. Пат. №1723944 Российская Федерация, МКП Н 01 J 25/12. Клистрон / Царев В.А., Клокотов В.М., Фисенко Р.Н.; заявитель «Саратовский политехнический институт»; патентообладатель «Саратовский государственный технический университет». - № 4819094/21; заявл. 29.03.1990; опубл. 15.12.1994.
4. Царев, В.А. Миниатюрный двухзазорный резонатор для микроволновых приборов с матричными автоэмиссионными катодами [Электронный ресурс] / В.А. Царев, А.Ю. Мирошниченко // Электроника и микроэлектроника СВЧ: Всероссийская конференция. - Санкт- Петербург. 2013. - Режим доступа: [http://mwelectronics.ru/disk/Oral/3/12\\_TCarevVA\\_dvukhzazorny%60i%60\\_rezonator.pdf](http://mwelectronics.ru/disk/Oral/3/12_TCarevVA_dvukhzazorny%60i%60_rezonator.pdf) (доступ свободный) – Загл. с экрана. – Яз. рус.
5. Пат. №2037903 Российская Федерация, МКП Н 01 J 23/18. Резонатор для несинусоидального сигнала / Клокотов В.М., Царев В.А., Ширшин В.И.;

заявитель и патентообладатель «Саратовский государственный технический университет». - №4945620/10; заявл. 16.06.1991; опубл. 19.06.1995.

6. Пат. №2457572 Российская Федерация, МПК H 01 J 25/20. СВЧ-генератор с матричным автоэмиссионным катодом с отражением электронного потока / Царев В.А., Мирошниченко А.Ю., Акафьева Н.А.; заявитель и патентообладатель Государственное образовательное учреждение высшего профессионального образования «Саратовский государственный технический университет». – №2011104833/07; заявл. 09.02.2011; опубл. 27.07.2012.

7. ANSYS HFSS. [Электронный ресурс] - Режим доступа: <http://www.ansys.com/Products/Simulation+Technology/Electromagnetics/Signal+Integrity+&+Power+Integrity/ANSYS+HFSS> (доступ свободный) – Загл. с экрана. – Яз. анг.

8. Банков, С.Е. Расчет антенн и СВЧ структур с помощью HFSSAnsoft [Текст] / С.Е. Банков, А.А. Курушин. – М.: ЗАО «НПП «РОДНИК», 2009. - 256 с.

9. Шурховецкий, А.Н. Многоканальная частотно-избирательная система СВЧ диапазона на основе направленных фильтров бегущей волны [Электронный ресурс] / А.Н. Шурховецкий // Инженерный вестник Дона. – 2010. - №4. – Режим доступа: <http://ivdon.ru/magazine/archive/n4y2010/292> (доступ свободный) – Загл. с экрана. – Яз. рус.

10. Самарский, С.Г. Широкополосный печатный излучатель для фар различного назначения [Электронный ресурс] / С.Г. Самарский // Инженерный вестник Дона. – 2010. - №4. - Режим доступа: <http://ivdon.ru/magazine/archive/n4y2010/291> (доступ свободный) – Загл. с экрана. – Яз. рус.